

DAFTAR PUSTAKA

- Ansari, M. H., Priosambodo, D., Litaay, M., & Salam, A. M., 2017. Struktur Komunitas Padang Lamun di Perairan Kepulauan Waisai Kabupaten Raja Ampat Papua Barat. *Jurnal Ilmu Alam dan Lingkungan*, 8(15), 29-37
- Arief, M. 2013. Pengembangan Metode *Lyzenga* untuk Deteksi Terumbu Karang di Kepulauan Seribu dengan Menggunakan Data Satelit AVNIR-2. *Jurnal Statistika*, 13(2): 55-64.
- Azka, L. M., Mustafa, L. D. & Ma'udia, P. L. 2019. Analisa Luasan Terumbu Karang Berdasarkan Pengolahan Data Citra Satelit Landsat 8 Menggunakan Algoritma *Lyzenga*. *Jurnal JARTEL* 8 (1): 14-19.
- Badaria, S., 2007. Laju Pertumbuhan Daun Lamun (*Enhalus acoroides*) Pada Dua Substrat Yang Berbeda Di Teluk Banten. [Skripsi] Program Studi Ilmu dan Teknologi Kelautan, Fakultas Perikanan dan Ilmu Kelautan, Institut Pertanian Bogor.
- Dimiyati, M. 2022. Memahami Penginderaan Jauh Mandiri. UI Publishing. Jakarta. 294 Hal.
- Drusch, M., Bello, U.D., Carlier, S., Colin, O., Fernandez, V. 2012. Sentinel-2: ESA's Optical High-Resolution Mission for GMES Operational Services. *International Journal of Remote Sensing*. 25-36.
- Faishol, M. L., Nurcahyo, H., Nugroho, D. A. S., Rizky-RB, M, A., Hutanto, Y. 2016. Ekosistem Lamun di Taman Wisata Perairan Kepulauan Anambas. Kawasan Konservasi Perairan Nasional Pekanbaru.
- Fajarwati, S. D., Setianingsih, A. I., & Muzani, M. (2015). Analisis Kondisi Lamun (Seagrass) Di Perairan Pulau Pramuka, Kepulauan Seribu. *SPATIAL: Wahana Komunikasi dan Informasi Geografi*, 13(1), 22-32.
- Fauzan, M. A., & Hartono, P. W. 2018. Pantauan perubahan tutupan padang lamun menggunakan citra Sentinel-2 MSI time-series di wilayah pesisir Pulau Derawan. *Jurnal Penginderaan Jauh*. Samarindah
- Gosari, B. A. J., & Haris, A. 2013. Studi Kerapatan dan Penutupan Jenis Lamun di Kepulauan Spermonde. *Torani: Jurnal Ilmu Kelautan dan Perikanan*, 22(3), 156162.

- Hadad, M. S. A. & Abubakar, S. 2016. Distribusi Komunitas Padang Lamun (*Seagrass*) Di Perairan Tanjung Gosale Kecamatan Oba Utara Kota Tidore Kepulauan. *Jurnal Techno*, 5 (1).
- Handayani, R.P., Idris, F., Suhana, M.P. 2021. Pemetaan Luasan Ekosistem Lamun Menggunakan Citra Sentinel 2A Tahun 2018 Dan Tahun 2020 Di Perairan Desa Pengudang. *Student Online Journal*. 2(1).
- Hartati, R., Junaedi, A., Hariyadi, H., & Mujiyanto, M., 2012. Struktur Komunitas Padang Lamun di Perairan Pulau Kumbang, Kepulauan Karimunjawa (*Seagrass Community Structure of Kumbang Waters-Karimunjawa Islands*). *Ilmu Kelautan: Indonesian Journal of Marine Sciences*, 17(4), 217-225.
- Hartono, D., Zamdial, Anggoro, A., Sugara, A., Siregar, A, O. Pemetaan Sebaran dan Tutupan Lamun Menggunakan Citra Satelit Sentinel-2 di Pulau Dua Kecamatan Enggano Provinsi Bengkulu. *Jurnal Laut Khatulistiwa*, Vol. 5 No. 3 (October, 2022), Hal. 125 - 137 ISSN : 2614-6142 (Printed), 2614-8005 (Online) <http://jurnal.untan.ac.id/index.php/lk>
- Hasanuddin. R. 2013. Hubungan Antara Kerapatan dan Morfometrik Lamun *Enhalus acoroides* dengan Substrat dan Nutrien di Pulau Sarappo Lompo Kabupaten Pangkajene dan Kepulauan [Skripsi]. Fakultas Ilmu Kelautan dan Perikanan.Universitas Hasanuddin. Makassar.
- Hernawan, U.E., Sjafrie, N.D.M., Supriyadi, I.H., Suyarso., Iswari, M.Y., 2017. Status Padang Lamun Indonesia 2017. Pusat Penelitian Oseanografi Lembaga Ilmu Pengetahuan Indonesia
- Hochberg,E. and M. Atkonsson. 2003, Spectral discrimination of coral reef benthic communities, *Coral Reefs*, Vol, 19: 164 – 171
- Hidayah, A. N. K. R., Ario, R., & Riniatsih, I. (2019). Studi struktur komunitas padang lamun di Pulau Parang, Kepulauan Karimunjawa. *Journal of Marine Research*, 8(1), 107-116.
- Hidayat, W., Warpala, I. S., & Dewi, N. S. R. (2018). Komposisi jenis lamun (*seagrass*) dan karakteristik biofisik perairan di kawasan Pelabuhan Desa Celukanbawang Kecamatan Gerokgak Kabupaten Buleleng Bali. *Jurnal Pendidikan Biologi Undiksha*, 5(3), 133-145
- Hisamuddin, R., Wicaksono, I., Syah, A.F. 2021. Hubungan Kondisi Rajungan (*Portunus Pelagicus*) dan Ekosistem Padang Lamun di Perairan Pulau Poteran Madura.

- Ilyas, T. P., Nababan, B., Madduppa, H., & Kushardono, D. (2020). Pemetaan ekosistem lamun dengan dan tanpa koreksi kolom air di perairan Pulau Pajenekang, Sulawesi Selatan. *Jurnal Ilmu dan Teknologi Kelautan Tropis*, 12(1), 9-23.
- Jompa.J., W. Moka dan D. Yanuarita. 2005. Kondisi Ekosistem Perairan Kepulauan Spermonde: Keterkaitannya dengan Pemanfaatan Sumberdaya Laut di Kepulauan Spermonde. Divisi kelautan pusat kegiatan penelitian. Universitas Hasanuddin, Makassar. Hal.269
- Kartika, I. 2019. Karakterisasi Nilai Pantulan Objek Dasar Perairan Menggunakan Citra Satelit Sentinel-2A; Studi Kasus Pulau Barrang Caddi, Kepulauan Spermonde Skripsi. Program Sarjana, Program Studi Ilmu Kelautan, Fakultas Ilmu Kelautan dan Perikanan Universitas Hasanuddin.
- Kasim, M., A. Pratomo, dan Muzahar. 2013. Struktur Komunitas Padang Lamun pada Kedalaman yang Berbeda di Perairan Desa Berakit Kabupaten Bintan. [Jurnal Perikanan dan Kelautan]. Universitas Raja Ali Haji, Riau. 8 hlm.
- Keputusan Menteri Lingkungan Hidup. 2004. Keputusan Menteri Lingkungan Hidup Nomor 200 Tahun 2004 tentang Kriteria Baku Kerusakan dan Pedoman Penentuan Status Padang Lamun. Jakarta.
- Kusumowidagdo, M., Budi, T., Bunowati, E., Liesnoor, D. 2007. Penginderaan Jauh dan Interpretasi Citra.Pusat data penginderaan jauh Lapan dan Jurusan Geografi. Universitas Semarang
- Lekatompessy, H. S. 2013. Strategi adaptasi nelayan pulau-pulau kecil terhadap perubahan ekologis. Tesis. Program Pascasarjana, Program Studi Perencanaan dan Pengembangan Wilayah, Fakultas Pascasarjana Universitas Hasanuddin
- Lyzenga, D. R.* 1981. Remote sensing of bottom reflectance and water attenuation parameters in shallow water using aircraft and Landsat data. *International Journal of Remote Sensing*, 2(1): 71 – 82.
- Nontji, A. 2007. Laut Nusantara. Edisi Revisi, Cetakan ke-5. *Djambatan. Jakarta, 300.*
- Nuraulia, N. J. 2020. Pemetaan Padang Lamun Menggunakan Citra Sentinel-2a Di Perairan Sari Ringgung Kabupaten Pesawaran Provinsi Lampung. Skripsi. Program Sarjana, Program Studi Ilmu Kelautan, Fakultas Matematika Dan Ilmu Pengetahuan Alam Universitas Sriwijaya.

- Nuridin, N. 2020. Informasi Geospasial Gugusan Pulau Kecil Kepulauan Spermonde – Dinamika Ekosistem Perairan Dangkal dalam 44 Tahun. Perpustakaan Nasional: Katalog dalam Terbitan (KDT). Yogyakarta.
- Nybakken, J.W. 1997. Marine Biology: An Ecological Approach. 4th edition. Addison – Wesley Educational Publishers Inc. New York.
- Prathama, R., Putra, R.D., & Zulfikar, A. (2018). Pemetaan Sebaran Padang Lamun Menggunakan Citra Satelit Landsat 8 Di Desa Malang Rapat Kecamatan Gunung Kijang Kabupaten Bintan. *Jurnal UMRAH*, 1(1): 1 - 7.
- Rachmawati, D. N., Sasmito, B., Sukmono, A. 2018. Studi Perkembangan Terumbu Karang Di Perairan Pulau Panjang Jepara Menggunakan Citra Sentinel-2 Dengan Metode Algoritma *Lyzenga*. *Jurnal Geodesi Undip*. 7(4).
- Rahmawati, S., Irawan, A., Supriyadi, I.H., Azkab, M.H. 2014. Panduan Monitoring Padang Lamun. Pusat Penelitian Oseanografi Lembaga Ilmu Pengetahuan Indonesia. Jakarta. 37 Hlm.
- Rais M. 2021. Estimasi Stok Karbon Padang Lamun Menggunakan Citra Spot-7 Di Perairan Pulau Kodingareng Lompo, Kecamatan Sangkarrang, Kota Makassar. Skripsi. Program Sarjana, Program Studi Manajemen Sumberdaya Perairan, Fakultas Ilmu Kelautan dan Perikanan Universitas Hasanuddin.
- Rosmawati, T. 2011. Ekologi Perairan. Hilliana Press. Bogor. ISBN: 9786028375047
- Sakti, U, W. 2022. Kemampuan Padang Lamun dalam Mengakumulasi Sampah Laut (Macro Debris) di Pulau Badi, Kabupaten Pangkajene Kepulauan. Skripsi. Program Sarjana, Program Studi Manajemen Sumberdaya Perairan, Fakultas Ilmu Kelautan dan Perikanan Universitas Hasanuddin.
- Sambara, Z. R. 2014 Laju Penjalaran rhizoma Lamun yang Ditransplantasi secara Multispesies di Pulau Barrang Lompo. Skripsi. Jurusan Ilmu Kelautan Fakultas Ilmu Kelautan dan Perikanan Universitas hasanuddin. Makassar.
- Sarinawaty, P., Idris, F., & Nugraha, A. H. 2020. Karakteristik Morfometrik Lamun *Enhalus Acoroides* Dan *Thalassia hemprichii* Di Pesisir Pulau Bintan. *Journal Of Marine Research*, 9(4), 474–484. <https://doi.org/10.14710/Jmr.V9I4.28432>
- Sjafrie, N.D.M., Hernawan, U.E., Prayudha, B., Supriyadi, I.H., Iswari, M.Y., 2018. Status Padang Lamun Di Indonesia 2018, 2nd Ed, 2. Pusat Penelitian Oseanografi Lembaga Ilmu Pengetahuan Indonesia

- Sudarsono, B. 2011. Inventarisasi Perubahan Wilayah Pantai Dengan Metode Penginderaan Jauh (Studi Kasus Kota Semarang). *Jurnal Teknik*. 32(2). 165.
- Supriadi., Kaswadji. R. F., Bengen. D. G., Hutomo. M. 2012. Produktivitas Komunitas Lamun di Pulau Barang Lompo Makassar. *Jurnal Akuatika*. 3(2).
- Susetiono. 2004. Fauna Padang Lamun Tanjung Merah Selat Lembe. Pusat Penelitian Oseanografi-LIPI. Jakarta
- Syawal, A.M., Ira & Afu, L.O.A. 2019. Laju Pertumbuhan Dan Kelangsungan Hidup Lamun Hasil Transplantasi Di Perairan Teluk Kendari. *Jurnal Sapa Laut*, 4(2):69-77.
- Tangke, U. 2010. Ekosistem Padang Lamun (manfaat, fungsi dan rehabilitasi). *Jurnal Ilmiah agribisnis dan Perikanan (agrikan UMMU-Ternate)* 3(1). Ternate.
- Tasabarmo, I. A., Kawaroe, M., Ambo-Rappe, R. 2015. Laju Pertumbuhan, Penutupan, Dan Tingkat Kelangsungan Hidup *Enhalus Acoroides* Yang Ditransplantasi Secara Monospecies Dan Multispecies. *Jurnal Ilmu dan Teknologi Kelautan Tropis*, 7(2): 757-770.
- Thalib, M. S. 2017. Klasifikasi Tutupan Lamun Menggunakan Data Citra Sentinel-2A di Pulau Bontosua, Kepulauan Spermonde. Skripsi. Program Sarjana, Program Studi Ilmu Kelautan, Fakultas Ilmu Kelautan dan Perikanan Universitas Hasanuddin.
- Tuapattinaya, P. M., 2014. Hubungan Faktor Fisik Kimia Lingkungan Dengan Keanekaragaman Lamun (Seagrass) di Perairan Pantai Desa Suli. *Biosel: Biology Science and Education*, 3(1), 54-67.
- Taufikurrahman, T., Selamat, M. B., & Mashoreng, S. 2017. KARAKTERISASI SPEKTRAL KONDISI PADANG LAMUN MENGGUNAKAN CITRA LANDSAT 8 OLI. *Jurnal Ilmu Kelautan SPERMONDE*, 3(2).
- Wagey, B. T., 2013. Hिलamun (Seagrass). Unsrat Press
- Yushra., Adiguna, G. S., Sasongko, L. W. & Widiastuty, R. P. 2020. Estimasi Stok Karbon Sedimen Pada Area Padang Lamun di Kepulauan Spermonde, Sulawesi Selatan. *Manfish Journal*, 1 (1).
- Zuhrizal, AM.M., Ambo-Rappe, R. Selamat, M.B. 2021. Estimation of nypa (*Nypa fruticans*) biomass using Sentinel 2A satellite data. *International Symposium on Marine Science and Fisheries*. doi:10.1088/1755-1315/860/1/012086

LAMPIRAN

Lampiran 1. Pendataan Lamun

Tutupan Lamun

Stasiun 1					
Kuadrat	Lon	Lat	Plot	Rata-rata (%)	Rata-rata
1	119,2881	-4,9659	1	12	15
			2	4,25	
			3	55	
			4	30	
			5	1,5	
			6	0,25	
			7	5	
			8	15	
			9	15	
2	119,2881	-4,96577	1	8,75	6
			2	6	
			3	1,75	
			4	2	
			5	11,71429	
			6	5,75	
			7	7	
			8	11	
			9	3,75	
3	119,2881	-4,96562	1	0	2
			2	2,5	
			3	0	
			4	0	
			5	3,75	
			6	3	
			7	9,5	
			8	0	
			9	0	
4	119,2883	-4,9662	1	7,5	28
			2	26,25	
	119,2883	-4,9661	3	38,75	
			4	33,75	
			5	46,25	
			6	13	
	119,2884	-4,96611	7	22,5	
			8	53,75	
	119,2884	-4,96623	9	5,75	
5	119,2882	-4,96605	1	53,75	19
			2	45	
	119,2882	-4,96598	3	8,75	
			4	1,25	

			5	7,75	
			6	22,5	
	119,2883	-4,96602	7	13,5	
			8	11,5	
	119,2883	-4,96611	9	9,5	
6	119,2873	-4,96552	1	1,75	18
			2	16,25	
	119,2874	-4,96542	3	8,25	
			4	42,5	
			5	3	
			6	26,25	
	119,2874	-4,96546	7	15	
			8	22	
	119,2874	-4,96554	9	27,5	
				Mean	15
				SE	3,8

Stasiun 2

Kuadrat	Lon	Lat	Plot	Rata-rata (%)	Rata-rata
1	119,2863	-4,96651	1	5	3
			2	10	
	119,2862	-4,96645	3	3	
			4	1	
			5	0	
			6	2,25	
	119,2863	-4,96638	7	3,25	
			8	0	
	119,2863	-4,96644	9	0	
2	119,2862	-4,96644	1	10	5
			2	12,5	
	119,2861	-4,96638	3	1	
			4	5,75	
			5	15	
			6	0	
	119,2862	-4,9663	7	0	
			8	0	
	119,2862	-4,96639	9	0	
				Mean	4
				SE	1,1

Stasiun 3

Kuadrat	Lon	Lat	Plot	Rata-rata (%)	Rata-rata
1	119,2858	-4,96715	1	5,5	8

			2	16,25	
	119,2857	-4,96711	3	10	
			4	8,75	
			5	10,75	
			6	7,75	
	119,2857	-4,96704	7	0,5	
			8	6,5	
	119,2858	-4,96704	9	8,75	
2	119,2858	-4,967	1	9	4
			2	30	
	119,2857	-4,96697	3	0,75	
			4	0	
			5	0	
			6	0	
	119,2858	-4,96691	7	0	
			8	0	
	119,2859	-4,96693	9	0	

Mean 6
SE 1,9

Stasiun 4

Kuadrat	lon	lat	Plot	Rata-rata (%)	Rata-rata
1	-4,968636	119,285879	1	7,5	6
			2	5,5	
	119,285801	-4,968673	3	12,5	
			4	2,5	
			5	6,25	
			6	6,25	
			7	2	
	119,285822	-4,968551	9	11,25	
2	119,285804	-4,968679	1	10	8
			2	10	
	119,285732	-4,968729	3	6,75	
			4	3,75	
			5	4,5	
			6	12,5	
	119,285708	-4,968653	7	20	
			8	2	
3	119,285743	-4,968625	9	0	16
	119,286012	-4,968673	1	47,5	
			2	10	
	119,28595	-4,968703	3	6,75	
			4	3,75	
		5	4,5		

			6	15	
	119,285896	-4,968634	7	50	
			8	2	
	119,285991	-4,968587	9	8,25	
4	119,285952	-4,968701	1	0	10
			2	15,5	
	119,28587	-4,968748	3	37,5	
			4	8,75	
			5	5,75	
			6	0	
	119,285821	-4,968663	7	13,75	
			8	5,25	
	119,285914	-4,968608	9	7	
5	119,285852	-4,968743	1	10	5
			2	4	
	119,285787	-4,96879	3	5	
			4	5	
			5	9	
			6	5	
	119,285733	-4,968714	7	11,25	
			8	0	
119,285814	-4,968647	9	0		
6	119,285998	-4,968797	1	1,25	10
			2	8,75	
	119,285939	-4,968852	3	13,75	
			4	13,75	
			5	5	
			6	4	
	119,285877	-4,968784	7	6,25	
			8	7,5	
119,285948	-4,968731	9	28,75		
7	119,285935	-4,96886	1	7,5	9
			2	7,5	
	119,28585	-4,968915	3	12,5	
			4	13,75	
			5	3	
			6	6	
	119,285796	-4,968851	7	5	
			8	7,25	
119,285882	-4,968796	9	17,5		

Mean 9
SE 1,4

Stasiun 5					
Kuadrat	lon	lat	Plot	Rata-rata (%)	Rata-rata
1	119,2863	-4,96901	1	90	39

			2	32,5	
	119,2863	-4,9691	3	27,5	
			4	13,25	
			5	15	
			6	35	
	119,2862	-4,96902	7	67	
			8	50	
	119,2863	-4,96897	9	22,5	
2	119,2863	-4,96911	1	29,5	30
			2	25	
	119,2862	-4,96914	3	47,5	
			4	16,15385	
			5	15	
			6	35	
	119,2861	-4,96907	7	21,25	
			8	50	
	119,2862	-4,96902	9	32,5	
3	119,2866	-4,96897	1	91,25	27
			2	30	
	119,2865	-4,96904	3	45	
			4	0	
			5	0	
			6	18	
	119,2864	-4,969	7	0	
			8	0	
	119,2865	-4,96893	9	61,25	
4	119,2865	-4,96903	1	31,25	17
			2	0	
	119,2864	-4,9691	3	0	
			4	21,25	
			5	12	
			6	40	
	119,2864	-4,96907	7	12	
			8	29,75	
	119,2864	-4,969	9	5,25	
5	119,2867	-4,96911	1	40	27
			2	21,25	
	119,2867	-4,96919	3	0	
			4	6	
			5	21,75	
			6	20	
	119,2866	-4,96916	7	38,75	
			8	68,75	
	119,2867	-4,96908	9	30	
6	119,2867	-4,96919	1	3	4
			2	9,25	

	119,2866	-4,96926	3	7,75	
			4	1	
			5	2,5	
			6	0,75	
	119,2866	-4,9692	7	0	
			8	7,75	
	119,2866	-4,96916	9	0	
7	119,2866	-4,96928	1	5	6
			2	4	
	119,2866	-4,96935	3	10,25	
			4	6	
			5	0	
			6	4,5	
	119,2865	-4,96928	7	0	
	119,2866	-4,96921	9	0	
8	119,2869	-4,96918	1	12,5	9
			2	10,75	
	119,2869	-4,96926	3	12,75	
			4	7	
			5	14,5	
			6	8	
	119,2868	-4,96925	7	9	
	119,2868	-4,96917	9	0	
9	119,2869	-4,96927	1	10,5	5
			2	9	
	119,2869	-4,96936	3	2,25	
			4	3,75	
			5	4,75	
			6	3,25	
	119,2868	-4,96932	7	0	
	119,2868	-4,96926	9	7,5	

Mean 18
SE 4,4

Stasiun 6

Kuadrat	Lan	Lot	Plot	Rata-rata (%)	Rata-rata
1	119,2874	-4,96908	1	90	39
			2	32,5	
	119,2874	-4,96917	3	27,5	
			4	13,25	
			5	15	
			6	35	
	119,2873	-4,9692	7	67	

			8	50	
	119,2873	-4,96914	9	22,5	
2	119,2874	-4,96917	1	29,5	30
			2	25	
	119,2875	-4,96924	3	47,5	
			4	9,5	
			5	20,67857	
			6	35	
	119,2874	-4,96927	7	21,25	
			8	50	
			9	32,5	
3	119,2875	-4,96925	1	47,5	29
			2	33,75	
	119,2875	-4,96932	3	25	
			4	15	
			5	18,75	
			6	46,25	
	119,2874	-4,96935	7	37,5	
			8	9,75	
	119,2874	-4,96928	9	23,25	
4	119,2875	-4,96932	1	25	15
			2	2,5	
	119,2875	-4,96941	3	3	
			4	30	
			5	2,5	
			6	11,25	
	119,2874	-4,96943	7	12,5	
			8	38,25	
	119,2874	-4,96935	9	9,5	
5	119,2875	-4,969	1	38,75	36
			2	31,25	
	119,2875	-4,96908	3	9	
			4	78,25	
			5	46,75	
			6	20,75	
	119,2874	-4,96912	7	37,5	
			8	33,75	
	119,2874	-4,96905	9	25	
6	119,2875	-4,96907	1	8,5	23
			2	31,25	
	119,2876	-4,96916	3	10	
			4	37,5	
			5	12,5	
			6	28,75	
	119,2875	-4,96922	7	38,75	
			8	20	

	119,2875	-4,96913	9	21,75	
7	119,2876	-4,96916	1	17,5	24
			2	15	
	119,2876	-4,96923	3	28,75	
			4	18,75	
			5	11,25	
			6	45,5	
	119,2876	-4,96929	7	28,75	
			8	27,5	
	119,2875	-4,96921	9	20	

Mean 28
SE 3,1

Stasiun 7

Kuadrat	Lan	Lot	Plot	Rata-rata (%)	Rata-rata
1	119,2885	-4,96826	1	45	28
			2	0	
	119,2885	-4,9683	3	0	
			4	36,25	
			5	0	
			6	76,25	
	119,2885	-4,96834	7	17,5	
			8	12,5	
	119,2884	-4,96832	9	65	
2	119,2883	-4,96832	1	85	40
			2	47,5	
	119,2883	-4,96837	3	45	
			4	30,61538	
			5	22,5	
			6	0	
	119,2883	-4,96844	7	45	
			8	37,5	
	119,2882	-4,96839	9	43,33333	
3	119,2883	-4,96838	1	31,25	10
			2	12,5	
	119,2884	-4,96844	3	5,25	
			4	0	
			5	8,25	
			6	22,5	
	119,2884	-4,96851	7	11,25	
			8	1,25	
	119,2883	-4,96846	9	1,5	
4	119,2882	-4,96841	1	80	57
			2	71,25	
	119,2882	-4,96846	3	77,5	
			4	0	

			5	42,5	
			6	0	
	119,2881	-4,96852	7	87,5	
			8	80	
	119,2881	-4,96848	9	77,5	
5	119,2882	-4,96846	1	82,5	19
			2	20	
	119,2883	-4,96852	3	5,75	
			4	7	
			5	5,5	
			6	2,5	
	119,2882	-4,96861	7	38,75	
			8	2,5	
	119,2882	-4,96853	9	2,5	
6	119,2881	-4,96848	1	92,5	31
			2	46,25	
	119,2882	-4,96855	3	12,5	
			4	0	
			5	41,25	
			6	0	
	119,2881	-4,96861	7	87,5	
			8	0	
119,288	-4,96854	9	0		
7	119,2882	-4,96855	1	78,75	35
			2	47,5	
	119,2882	-4,9686	3	29,25	
			4	0	
			5	42,5	
			6	0	
	119,2882	-4,96869	7	40	
			8	0	
119,2881	-4,9686	9	76,25		

Mean 31
SE 5,7

Stasiun 8

Kuadrat	Lot	Lan	Plot	Rata-rata (%)	Rata-rata
1	119,2893	-4,96743	1	31,25	17
			2	18,75	
	119,2893	-4,96745	3	10	
			4	4,75	
			5	16,5	
			6	30,5	
	119,2893	-4,96751	7	9,5	
			8	10	
	119,2892	-4,96748	9	17,5	

2	119,2892	-4,96751	1	21,25	19
			2	36,25	
	119,2893	-4,96753	3	40	
			4	16,15385	
			5	35	
			6	4,75	
	119,2893	-4,96767	7	8,25	
			8	3	
	119,2892	-4,96761	9	3	
3	119,2892	-4,96768	1	26,25	50
			2	10,75	
	119,2893	-4,96772	3	2	
			4	80	
			5	14,5	
			6	87,5	
	119,2892	-4,96777	7	87,5	
			8	92,5	
	119,2892	-4,96778	9	47,5	
4	119,2892	-4,9678	1	51,25	75
			2	82,5	
	119,2893	-4,96783	3	85	
			4	87,5	
			5	82,5	
			6	40	
	119,2892	-4,96788	7	80	
			8	85	
	119,2891	-4,96786	9	82,5	
5	119,2891	-4,96786	1	31,25	60
			2	75	
	119,2892	-4,9679	3	85	
			4	82,5	
			5	77,5	
			6	40	
	119,2891	-4,96798	7	75	
			8	47,5	
	119,2891	-4,96795	9	27,5	
				Mean	44
				SE	11,5

Kerapatan Total								
Stasiun	1	2	3	4	5	6	7	8
Mean	497	79	225	185	297	582	817	918
SE	95	10	114	18	66	54	132	136

Frekuensi Kemunculan Jenis								
jenis/stasiun	1	2	3	4	5	6	7	8
Hu	37	0	0	0	0	1	28	32
Cr	45	4	12	55	45	62	36	44
Ho	27	0	0	0	0	0	19	10
Si	8	0	0	0	0	0	0	0
Ea	6	0	0	0	0	0	2	0
Th	30	10	5	58	67	63	34	17
Total Plot	54	18	18	63	81	63	63	45

Frekuensi Relatif									
Jenis/Stasiun	1	2	3	4	5	6	7	8	Rata-Rata
Hu	24	0	0	0	0	1	24	31	10
Cr	29	29	71	49	40	49	30	43	42
Ho	18	0	0	0	0	0	16	10	5
Si	5	0	0	0	0	0	0	0	1
Ea	4	0	0	0	0	0	2	0	1
Th	20	71	29	51	60	50	29	17	41

Lampiran 2. Nilai Reflektansi pada Setiap Band

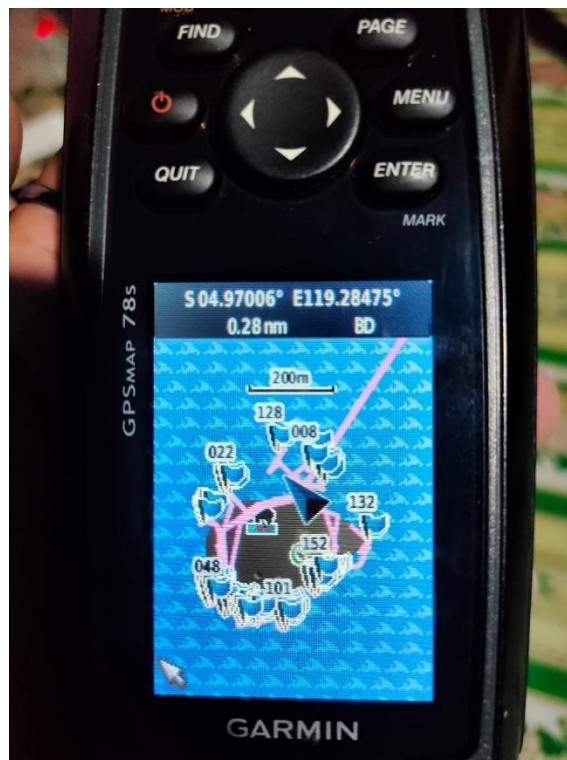
Name	Band 2	Band 3	Band 4	Band 8	GPS	PerCov	Kondisi 3
009	0,082	0,104	0,058	0,021	9	15,3	Miskin
010	0,080	0,100	0,047	0,017	10	6,6	Miskin
011	0,074	0,093	0,040	0,017	11	2,1	Miskin
012	0,058	0,077	0,051	0,026	12	5,5	Miskin
013	0,080	0,103	0,058	0,022	13	10,0	Miskin
014	0,062	0,084	0,049	0,022	14	0,5	Miskin
015	0,057	0,071	0,050	0,027	15	8,8	Miskin
018	0,053	0,071	0,044	0,020	18	0,0	Miskin
020	0,054	0,069	0,051	0,037	20	5,0	Miskin
021	0,063	0,082	0,047	0,023	21	3,0	Miskin
022	0,071	0,094	0,052	0,020	22	3,3	Miskin
023	0,062	0,082	0,049	0,023	23	0,0	Miskin
025	0,049	0,065	0,037	0,019	25	1,0	Miskin
026	0,063	0,079	0,043	0,017	26	0,0	Miskin
027	0,059	0,076	0,044	0,023	27	0,0	Miskin
028	0,062	0,086	0,054	0,023	28	7,5	Miskin
030	0,063	0,083	0,055	0,031	30	11,3	Miskin
032	0,074	0,096	0,056	0,025	32	6,8	Miskin
033	0,073	0,097	0,055	0,025	33	20,0	Miskin
034	0,066	0,085	0,058	0,038	34	0,0	Miskin
035	0,068	0,089	0,068	0,043	35	47,5	Kurang Sehat
036	0,057	0,078	0,051	0,020	36	6,8	Miskin

037	0,059	0,075	0,051	0,021	37	50,0	Kurang Sehat
040	0,062	0,082	0,052	0,021	40	37,5	Kurang Sehat
044	0,089	0,111	0,060	0,020	44	5,0	Miskin
047	0,061	0,076	0,050	0,025	47	1,3	Miskin
048	0,061	0,082	0,050	0,019	48	13,8	Miskin
049	0,072	0,092	0,055	0,019	49	6,3	Miskin
051	0,064	0,082	0,050	0,020	51	7,5	Miskin
052	0,081	0,105	0,054	0,019	52	12,5	Miskin
055	0,052	0,066	0,057	0,044	55	45,0	Kurang Sehat
056	0,056	0,073	0,053	0,035	56	0,0	Miskin
057	0,063	0,083	0,072	0,049	57	17,5	Miskin
060	0,078	0,090	0,062	0,053	60	27,5	Miskin
061	0,060	0,079	0,047	0,021	61	67,0	Sehat
062	0,054	0,077	0,058	0,029	62	22,5	Miskin
064	0,059	0,069	0,049	0,041	64	47,5	Kurang Sehat
065	0,058	0,078	0,046	0,023	65	21,3	Miskin
067	0,064	0,072	0,062	0,048	67	91,3	Sehat
070	0,047	0,065	0,047	0,029	70	61,3	Sehat
071	0,050	0,070	0,056	0,031	71	31,3	Kurang Sehat
072	0,054	0,076	0,052	0,023	72	0,0	Miskin
073	0,069	0,081	0,055	0,033	73	12,0	Miskin
074	0,056	0,071	0,058	0,035	74	5,3	Miskin
075	0,072	0,075	0,059	0,048	75	40,0	Kurang Sehat
076	0,053	0,074	0,056	0,028	76	0,0	Miskin
077	0,065	0,083	0,053	0,027	77	7,8	Miskin
078	0,054	0,071	0,048	0,023	78	0,0	Miskin
080	0,055	0,079	0,063	0,039	80	30,0	Kurang Sehat
082	0,062	0,078	0,056	0,035	82	10,3	Miskin
083	0,063	0,078	0,051	0,036	83	0,0	Miskin
085	0,051	0,067	0,048	0,027	85	12,5	Miskin
086	0,058	0,074	0,048	0,023	86	12,8	Miskin
087	0,060	0,080	0,052	0,025	87	9,0	Miskin
088	0,051	0,072	0,052	0,029	88	0,0	Miskin
090	0,062	0,079	0,049	0,021	90	2,3	Miskin
091	0,065	0,085	0,053	0,024	91	0,0	Miskin
093	0,049	0,057	0,041	0,028	93	90,0	Sehat
094	0,057	0,070	0,044	0,023	94	27,5	Miskin
095	0,065	0,080	0,059	0,032	95	67,0	Sehat
098	0,054	0,072	0,045	0,022	98	47,5	Kurang Sehat
099	0,062	0,081	0,051	0,022	99	21,3	Miskin
101	0,059	0,080	0,050	0,020	101	25,0	Miskin

102	0,060	0,079	0,052	0,029	102	37,5	Kurang Sehat
105	0,072	0,095	0,054	0,019	105	3,0	Miskin
106	0,065	0,086	0,054	0,018	106	12,5	Miskin
108	0,039	0,052	0,042	0,032	108	38,8	Kurang Sehat
112	0,044	0,057	0,038	0,022	112	8,5	Miskin
113	0,044	0,057	0,039	0,021	113	10,0	Miskin
115	0,045	0,062	0,041	0,023	115	21,8	Miskin
117	0,068	0,082	0,049	0,020	117	28,8	Miskin
118	0,058	0,072	0,045	0,020	118	28,8	Miskin
120	0,052	0,069	0,054	0,034	120	7,5	Miskin
121	0,054	0,067	0,048	0,029	121	38,8	Kurang Sehat
122	0,049	0,063	0,043	0,033	122	22,5	Miskin
123	0,060	0,073	0,062	0,042	123	5,8	Miskin
124	0,053	0,069	0,041	0,016	124	53,8	Kurang Sehat
125	0,054	0,073	0,049	0,030	125	8,8	Miskin
126	0,049	0,065	0,049	0,033	126	13,5	Miskin
128	0,058	0,075	0,040	0,016	128	1,8	Miskin
129	0,060	0,079	0,042	0,016	129	8,3	Miskin
130	0,066	0,085	0,045	0,017	130	15,0	Miskin
131	0,065	0,082	0,045	0,016	131	27,5	Miskin
132	0,048	0,061	0,046	0,035	132	31,3	Kurang Sehat
133	0,054	0,068	0,040	0,021	133	10,0	Miskin
134	0,048	0,060	0,044	0,031	134	9,5	Miskin
138	0,064	0,079	0,042	0,023	138	8,3	Miskin
139	0,047	0,059	0,037	0,024	139	3,0	Miskin
140	0,045	0,053	0,045	0,036	140	26,3	Miskin
141	0,041	0,047	0,031	0,022	141	2,0	Miskin
142	0,041	0,045	0,032	0,024	142	87,5	Sehat
143	0,051	0,060	0,051	0,043	143	47,5	Kurang Sehat
146	0,052	0,066	0,049	0,028	146	80,0	Sehat
150	0,077	0,114	0,107	0,075	150	75,0	Sehat
152	0,042	0,050	0,034	0,025	152	85,0	Sehat
153	0,064	0,085	0,069	0,057	153	45,0	Kurang Sehat
154	0,048	0,060	0,044	0,027	154	45,0	Kurang Sehat
155	0,049	0,067	0,055	0,041	155	43,3	Kurang Sehat
157	0,054	0,073	0,049	0,029	157	5,3	Miskin
158	0,049	0,065	0,043	0,024	158	11,3	Miskin
160	0,045	0,061	0,050	0,034	160	80,0	Sehat
162	0,051	0,063	0,051	0,038	162	87,5	Sehat
163	0,051	0,065	0,047	0,030	163	77,5	Sehat

165	0,051	0,062	0,043	0,025	165	5,8	Miskin
166	0,050	0,065	0,044	0,022	166	38,8	Kurang Sehat
167	0,053	0,073	0,052	0,030	167	2,5	Miskin
170	0,051	0,066	0,054	0,032	170	43,8	Kurang Sehat
171	0,041	0,051	0,041	0,030	171	0,0	Miskin
174	0,049	0,064	0,041	0,019	174	22,5	Miskin

Lampiran 3. Dokumentasi Kegiatan Lapangan



Lampiran 4. Ukuran Butir Sedimen

STASIUN	SUB STASIUN	ULANGAN	Berat Awal (gr)	Ukuran Sieve Net (mm)							Berat Akhir (gr)
				2	1	0.5	0.25	0.125	0.063	<0.063	
1	1	1	100.028	11.825	21.813	23.818	22.908	15.330	3.286	0.426	99.406
		2	100.047	15.761	8.395	15.491	40.929	17.295	1.635	0.065	99.571
		3	100.018	5.690	5.593	10.924	41.010	29.151	5.890	1.050	99.308
	2	1	100.026	7.352	5.933	33.915	50.518	1.597	0.041	0.004	99.360
		2	100.030	7.846	3.087	9.015	41.552	33.346	4.060	0.527	99.433
		3	100.068	12.512	4.358	9.458	38.520	25.328	4.535	5.188	99.899
	3	1	100.067	16.107	4.081	14.137	50.052	13.738	1.441	0.232	99.788
		2	100.027	16.330	4.186	11.382	48.882	18.050	0.418	0.010	99.258
		3	100.010	10.530	8.105	23.900	49.581	6.536	0.180	0.007	98.839
2	1	1	100.033	25.177	19.110	20.450	10.350	19.515	4.672	0.313	99.587
		2	100.089	19.748	11.951	19.146	15.508	25.485	7.352	0.595	99.785
		3	100.087	10.015	18.734	42.849	22.741	4.990	0.548	0.044	99.921
	2	1	100.055	12.618	26.501	38.054	18.049	4.003	0.141	0.005	99.371
		2	100.025	8.478	12.311	31.023	26.004	17.025	3.616	0.921	99.378
		3	100.075	13.315	12.350	31.980	26.515	12.966	2.181	0.487	99.794
	3	1	100.051	19.859	10.792	25.946	28.581	14.089	0.653	0.040	99.960
		2	100.023	11.265	6.962	32.338	38.680	8.67	1.599	0.239	99.753
		3	100.033	5.008	1.655	8.862	61.579	19.749	2.41	0.235	99.498
3	1	1	100.039	18.802	17.092	18.599	18.984	23.133	2.392	0.539	99.541
		2	100.022	23.047	15.486	18.942	19.716	20.156	1.911	0.238	99.496
		3	100.071	17.695	21.673	21.256	21.580	15.952	1.167	0.328	99.651
	2	1	100.022	13.781	19.119	25.261	18.187	18.428	3.528	0.979	99.283
		2	100.010	11.256	21.684	29.799	20.925	13.503	1.522	0.827	99.516

	3	3	100.020	14.283	20.008	28.382	21.736	13.124	1.051	1.345	99.929
		1	100.091	13.004	18.077	26.846	18.531	19.340	3.674	0.113	99.585
		2	100.057	16.366	29.292	32.444	11.704	7.625	1.440	0.518	99.389
		3	100.084	13.781	24.081	34.369	17.607	7.242	0.783	0.117	97.980
4	1	1	100.090	24.922	28.354	43.579	2.316	0.049	0.023	0.009	99.252
		2	100.006	6.474	17.051	69.095	5.071	0.549	0.01	0.004	98.254
		3	100.015	11.706	13.532	20.173	26.046	23.540	4.434	0.561	99.992
	2	1	100.013	8.392	13.427	23.864	29.045	21.799	3.192	0.06	99.779
		2	100.016	8.285	13.844	28.926	43.496	4.938	0.106	0.002	99.597
		3	100.050	7.786	12.145	22.058	30.957	22.627	3.679	0.14	99.392
	3	1	100.091	10.081	17.050	28.815	26.036	15.981	1.748	0.048	99.759
		2	100.007	18.100	13.221	21.229	22.995	19.721	3.121	1.484	99.871
		3	100.039	13.092	20.287	33.968	21.807	9.509	0.873	0.203	99.739

